

УДК 519.2

ТЕКУЩЕЕ ОЦЕНИВАНИЕ ПРОИЗВОДНОЙ НЕСТАЦИОНАРНОГО ПРОЦЕССА НА ОСНОВЕ РЕКУРРЕНТНОГО СГЛАЖИВАЮЩЕГО СПЛАЙНА

Е. А. Кочегурова, Е. С. Горохова

*Томский политехнический университет,
634050, г. Томск, просп. Ленина, 30
E-mail: kocheg@mail.ru*

Представлен метод восстановления полезного сигнала и его низших производных в реальном масштабе времени на основе рекуррентного сглаживающего сплайна. Приведена расчётная схема сплайна, у которого число измерений каждого звена больше числа узлов, и с помощью вариационного подхода найдены его коэффициенты.

Ключевые слова: восстановление функции и её производных, рекуррентный алгоритм, вариационный сглаживающий сплайн.

DOI: 10.15372/AUT20160310

Введение и постановка задачи. Одной из форм представления исходных данных в системах мониторинга, управления и принятия решений являются временные ряды. При этом основная информация о наблюдаемом объекте часто формируется самим объектом и регистрируется измерительными приборами на некотором временном интервале. Наличие помех, искажающих параметры объекта, а также нестационарное поведение самого объекта приводят к тому, что наблюдаемый процесс становится нестационарным.

При обработке нестационарных случайных процессов возникает ряд задач, одна из которых — косвенная оценка производных на основе измерительной информации. Эта задача наиболее актуальна в таких прикладных областях, как управление объектами, мониторинг, принятие решений, прогноз показателей и поведения объектов и систем.

При этом особый интерес представляют методы восстановления полезного сигнала и его низших производных в реальном масштабе времени (РМВ).

В предлагаемой работе рассматривается класс алгоритмов, используемых в измерительных устройствах с дискретным входом и аналоговым выходом, где в моменты времени t_i , $i = 1, 2, \dots$, регистрируется последовательность отсчётов $y(t_i)$ со случайной помехой $\xi(t_i)$:

$$y(t_i) = f(t_i) + \xi(t_i); \tag{1}$$

$$M\{\xi(t)\} = 0; \quad M\{\xi^2(t)\} = \sigma_\xi^2; \quad M\{f(t), \xi(t)\} = 0.$$

Основу подобных устройств составляет преобразователь, аппроксимирующий входные отсчёты в аналоговый выходной сигнал.

Подходы к решению задачи. Сглаживание временных рядов — один из наиболее мощных инструментов их изучения. Сглаженный процесс можно рассматривать как идеальный вариант его поведения. Весьма перспективна при оценивании производных аппроксимация сглаженного ряда в виде аналитической функции. Полученная аналитическая функция, отражающая основные свойства наблюдаемого процесса, позволяет оценить производные заданного порядка. Наиболее известными для сглаживания являются методы

регрессионного анализа, ортогональные полиномы, сплайны, вейвлет- и фурье-функции, а также другие методы частотно-временного анализа. Основные классы методов аппроксимации экспериментальных данных проанализированы в [1].

Нередко для восстановления зашумлённого сигнала применяются методы, базирующиеся на использовании сплайн-функций [2, 3], в сочетании со спектральными или генетическими методами.

Наиболее разработанный аппарат интерполяционных сплайнов связан с решением систем алгебраических уравнений, что приводит к значительным вычислительным затратам. Кроме того, интерполяционный сплайн не может быть использован для сглаживания при наличии значительных шумов в результатах измерений.

Известно, что решение задачи дифференцирования прямыми методами неустойчиво, так как скорость изменения функции существенно усиливает резкие флуктуации исходной функции, зарегистрированной с погрешностями. Для дискретных данных это проявляется в усилении погрешности входных данных. Одним из возможных подходов, приводящих к устойчивым результатам, является параметризация решений в классе сглаживающих сплайнов.

Применение сплайна, обеспечивающего минимальную норму производной, позволяет получить искомое гладкое решение [4–7]. Сглаживающий сплайн $S(t)$ основан на оптимизации специального вида функционала

$$J(S) = \lambda \int_a^b [S''(t)]^2 dt + \sum_{i=0}^n [S(t_i) - y(t_i)]^2, \quad (2)$$

где первое слагаемое совместно со сглаживающим параметром λ определяет штраф кривизны; второе слагаемое минимизирует остаточные суммы квадратов и соответствует классическому методу наименьших квадратов.

Получение производной по результатам наблюдений может быть интерпретацией прямых [8, 9] или косвенных [10] измерений. В последнем случае искомая производная является решением интегрального уравнения 1-го рода и связана с использованием метода регуляризации Тихонова.

Интерпретация прямых измерений основана на дифференцировании аппроксимирующей функции. Полиномиальный базис высокой степени обеспечивает вычисление k -й производной. Наличие у сплайна группы параметров: степень, дефект, узлы — позволяет варьировать точностные и временные характеристики сплайна. В то же время форма представления и способ получения сглаживающего сплайна во многом определяют возможные режимы оценивания производной. Для оценивания параметров наблюдаемого процесса в РМВ целесообразно формировать рекуррентные расчётные схемы. Метод последовательного сплайн-сглаживания [11, 12] не требует решения систем уравнений, однако обработка также ведётся апостериорно, а количество последовательных сглаживаний является параметром регуляризации.

В данной работе приведена расчётная схема рекуррентного сглаживающего сплайна (РСС), у которого число измерений каждого звена больше числа узлов. Рекуррентный сглаживающий сплайн $S(t)$ найден на основе оптимизации экстремального функционала, который для предлагаемого сплайна модифицирован и имеет следующий вид [13]:

$$J(S) = (1 - \rho)(h\Delta t)^2 \int_{t_0^i}^{t_h^i} [S''(t)]^2 dt + \rho \sum_{j=0}^h [S(t_j^i) - y(t_j^i)]^2, \quad (3)$$

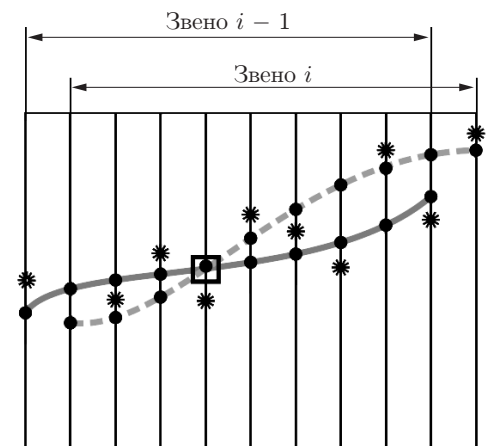


Рис. 1. Схема текущего режима функционирования РСС: * — наблюдаемый процесс, • — вычисленные значения τ , \square — момент сопряжения звеньев РСС q

где ρ — весовой коэффициент, устанавливающий баланс между сглаживающими и интерполяционными свойствами сплайна $S(t)$, $\rho \in [0, 1]$; Δt — интервал дискретизации наблюдаемого процесса; t_0^i, t_h^i — номера начальной и конечной абсцисс i -го звена сплайна соответственно; $h = (t_h^i - t_0^i)/\Delta t$ — количество измерений внутри i -го звена сплайна, далее $h = \text{const}$ для всех звеньев сплайна на интервале наблюдения процесса; $y(t_i)$ — измерения, определённые формулой (1).

Для i -го звена анализируемый кубический сплайн $S_i(\tau) = a_0^i + a_1^i\tau + a_2^i\tau^2 + a_3^i\tau^3$ может быть вычислен в любой внутренней точке звена $\tau \in [1, h]$.

Условия сопряжения звеньев сплайна определяют формулы для его непрерывных коэффициентов. Разрывные коэффициенты сплайна находятся из условия минимума экстремального функционала (3) в зависимости от дефекта сплайна d . Для $d = 2$ разрывными являются коэффициенты a_2^i и a_3^i , для $d = 1$ — коэффициент a_3^i .

В зависимости от соотношения моментов сопряжения $q \in [0, h - 1]$ и вычисления $\tau \in [1, h]$ i -го сплайна выделяют несколько режимов функционирования РСС (рис. 1). Например, текущий режим оценивания, в котором звено сплайна вычисляется при поступлении очередного измерения с использованием предыдущих $h - 1$ измерений. Сопряжение непрерывных производных в этом режиме осуществляется в момент времени $t_{q+1}^{i-1} = t_q^i$.

Формулы для оценки коэффициентов в таком режиме для $q = 0$ и $d = 2$ принимают наиболее простой вид:

$$\begin{aligned}
 a_0^i &= a_0^{i-1} + a_1^{i-1} + a_2^{i-1} + a_3^{i-1}; & A &= 6(1 - \rho)h^4 + \rho H_5; \\
 a_1^i &= a_1^{i-1} + 2a_2^{i-1} + 3a_3^{i-1}; & B &= 4(1 - \rho)h^3 + \rho H_4; \\
 a_2^i &= \frac{\rho(F_1^i C - F_2^i A)}{BC - A^2}; & C &= 12(1 - \rho)h^5 + \rho H_6; \\
 a_3^i &= \frac{\rho(F_2^i B - F_1^i A)}{BC - A^2}; & F_1^i &= \sum_{k=0}^h y(t_k^i)k^2 - a_0^i H_2 - a_1^i H_3; \\
 & & F_2^i &= \sum_{k=0}^h y(t_k^i)k^3 - a_0^i H_3 - a_1^i H_4; \\
 & & H_n &= \sum_{k=0}^h k^n.
 \end{aligned} \tag{4}$$

Коэффициенты a_0^i, a_1^i найдены из условия сопряжения звеньев $S^{(k)}(t_{q+1}^i)_+ = S^{(k)}(t_q^i)_-$, $k = 0, 1$, а коэффициенты a_2^i, a_3^i — из условий минимизации (3) $\frac{\partial J(S)}{\partial a_2^i} = 0$, $\frac{\partial J(S)}{\partial a_3^i} = 0$.

Достоинство данного подхода — наличие явных формул вычисления коэффициентов сплайна, что исключает использование численных алгоритмов и сокращает время расчётов при оценке производных в РМВ.

Результаты вычислительного эксперимента. Качество оценивания производных в большей степени определяют настроечные параметры РСС. К таким параметрам сплайна относятся: ρ — балансовый множитель, h — число измерений в звене сплайна. Качество восстановления функции и её производных при наличии помехи с заданной дисперсией σ_ξ^2 оценивалось по критерию MSE (Mean Squared Error) [14], который для наглядности выражен в процентах MSPE (Mean Squared Percentage Error):

$$\text{MSE}(\hat{x}_j(t)) = \sqrt{\frac{1}{K} \sum_{j=1}^K \frac{1}{n} \sum_{i=1}^n (x(t_i) - \hat{x}_j(t_i))^2};$$

$$\text{MSPE} = \frac{\text{MSE}}{|x_{\max} - x_{\min}|} \cdot 100 \%,$$
(5)

где $\hat{x}_j(t_i)$ — оценка функции (производной) в момент времени t_i в j -м эксперименте; $x(t_i)$ — истинное значение функции (производной) в момент t_i ; K — количество экспериментов; n — число значений функции; $|x_{\max} - x_{\min}|$ — диапазон изменения тестовой функции (производной). При этом для сопоставления с результатами оценивания производной, приведёнными в [15], объёмы вычислительного эксперимента также были выбраны аналогичными значениям $K = 200$, $n = 100$.

Оптимальные значения настроечных параметров РСС находились на основе вычислительного эксперимента с использованием тестовых функций

$$f_1(t) = 10 \sin\left(\frac{2\pi t}{100}\right), \quad f_2(t) = \sin\left(\frac{\pi t}{20}\right) e^{0,02t} + 3,$$

графики которых изображены на рис. 2, *a* и *c* соответственно.

Кроме полезного сигнала, обозначенного на рисунках точками, красными линиями показаны восстановленные функции (см. рис. 2, *a, c*) и восстановленные производные (рис. 2, *b, d*). Результаты приведены для частного случая $h = 10$ и $\sigma_\xi = 10 \%$ от максимального значения полезного сигнала. Из графиков видно, что восстановление производной визуально вполне удовлетворительно. Однако при близкой погрешности восстановления (менее 2 %) производная на рис. 2, *b* более гладкая, чем на рис. 2, *d*. Гладкость восстановления производной регулируется параметром ρ . При этом её повышение приводит к возникновению систематического отклонения, которое также является нежелательным эффектом восстановления.

Проведённые исследования позволили оценить MSPE-погрешности восстановления функции σ_0 и её производной σ_1 в зависимости от величины шума. На рис. 3 представлены погрешности восстановления в диапазоне изменения шума $\sigma_\xi \in 0-20 \%$. Погрешность оценки производных (синие линии) несколько выше, чем погрешность восстановления самой функции (красные линии), при этом значения погрешностей полностью зависят от вида и свойств исходной функции.

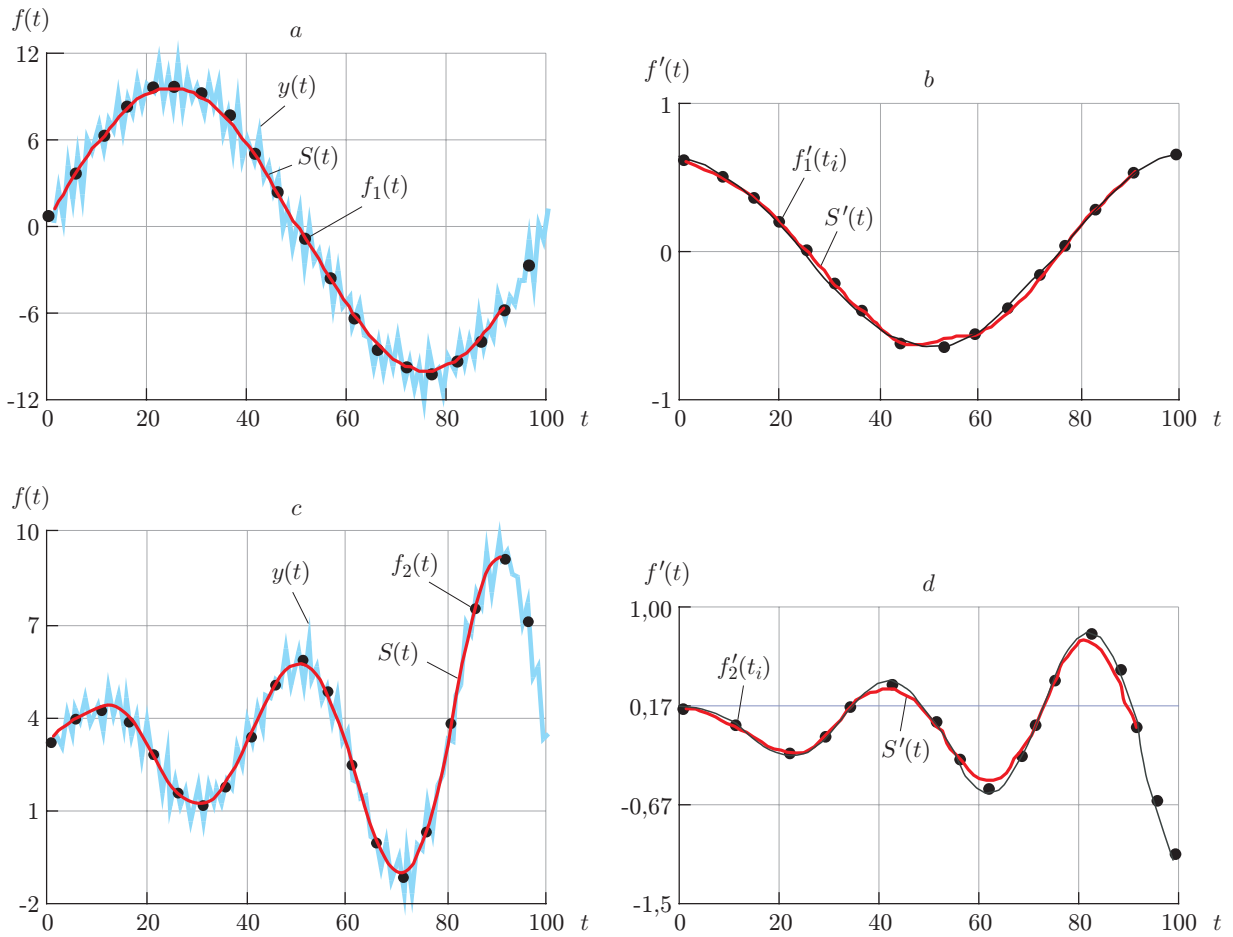


Рис. 2. Тестовые функции и восстановленные производные

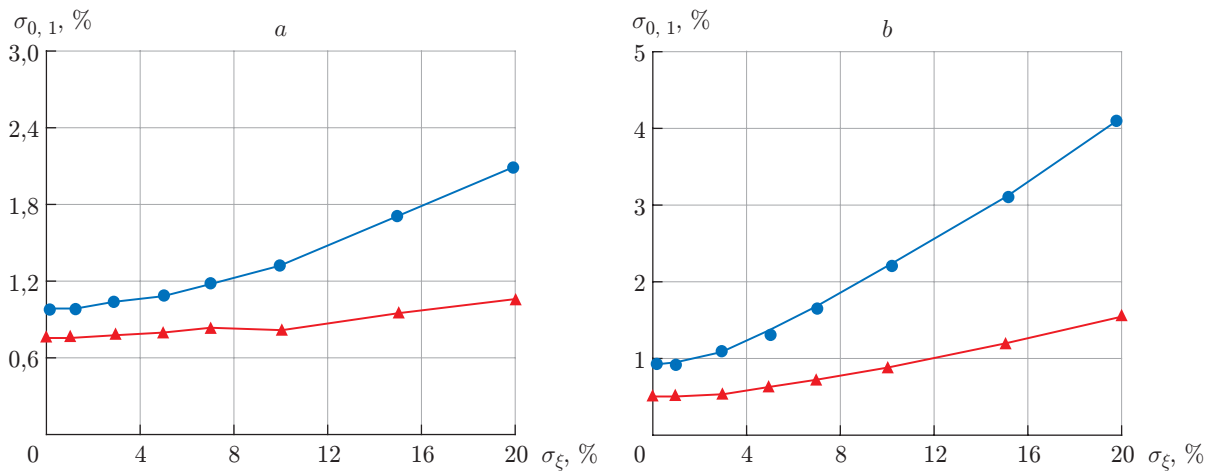


Рис. 3. Зависимости погрешностей восстановления функции σ_0 и её производной σ_1 от погрешности шума σ_{ξ} : a — $f_1(t)$ и b — $f_2(t)$

Метод	$\sigma_\xi = 3 \%$	$\sigma_\xi = 7 \%$	$\sigma_\xi = 10 \%$	Примечание
Р-сплайн	0,093 0,442 %	0,204 0,972 %	0,273 1,300 %	MSE-погрешность [15] MSPE-погрешность
РСС	1,09 %	1,688 %	2,218 %	$f_1(t), h, \rho_{\text{opt}}, \tau = 1$
РСС	1,042 %	1,176 %	1,334 %	$f_2(t), h, \rho_{\text{opt}}, \tau = 1$

Значения погрешностей приведены на рисунке для оптимальных значений настраиваемых параметров h и ρ . Во всём оцениваемом интервале наблюдается заметное уменьшение погрешности исходных данных: MSPE-погрешность восстановления производной сокращается от 3 (при $\sigma_\xi < 10 \%$) до 10 раз (при $\sigma_\xi > 15 \%$).

С ростом погрешности шума σ_ξ увеличивается и оптимальная длина сплайна h : от $h_{\text{opt}} = 8\text{--}10$ измерений при $\sigma_\xi = 1 \%$ до $h_{\text{opt}} = 14\text{--}19$ измерений при $\sigma_\xi = 20 \%$, при этом $\rho_{\text{opt}} \in [0, 1]$.

В заключение сопоставим MSPE-погрешность восстановления производной предлагаемым методом (РСС) с результатами использования Р-сплайна (Parametric Penalized Spline Smoothing), приведёнными в [15].

Из таблицы видно, что Р-сплайн обеспечивает меньшую погрешность, но именно РСС осуществляет восстановление функции и её производной в реальном масштабе времени.

Заключение. В данной работе описана регрессионная модель восстановления функции и её производной, основанная на вариационном подходе. Главное требование, предъявляемое к сглаживающей функции, — возможность её использования в РМВ. Для этого была разработана рекуррентная схема расчёта, содержащая явные формулы. Сравнительный анализ предлагаемого РСС и Р-сплайна показал, что погрешности восстановления РСС хотя и несколько выше (в среднем в 1,5 раза), но вполне применимы в инженерных приложениях. Следует отметить, что этот сплайн допускает реализацию в РМВ, а оценки таких процедур лишь асимптотически стремятся к оценкам апостериорных алгоритмов, каковым и является Р-сплайн.

СПИСОК ЛИТЕРАТУРЫ

1. **Голубинский А. Н.** Методы аппроксимации экспериментальных данных и построения моделей // Вестн. Воронежского института МВД России. 2007. № 2. С. 138–143.
2. **Завьялов Ю. С., Квасов Б. И., Мирошниченко В. Л.** Методы сплайн-функций. М.: Наука, 1980. 382 с.
3. **Вершинин В. В., Завьялов Ю. С., Павлов Н. Н.** Экстремальные свойства сплайнов и задача сглаживания. Новосибирск: Наука, 1988. 102 с.
4. **Роженко А. И.** Теория и алгоритмы вариационной сплайн-аппроксимации: Дис. ... д-ра физ.-мат. наук /ИВМиМГ СО РАН. Новосибирск, 2003. 231 с.
5. **Воскобойников Ю. Е., Колкер А. Б.** Аппроксимация изолиний изображений сглаживающими сплайнами // Автометрия. 2003. **39**, № 4. С. 3–12.
6. **Денисов В. И., Фаддеенков А. В.** Сплайновая регрессия с переменными штрафными коэффициентами // Автометрия. 2015. **51**, № 3. С. 3–10.
7. **Хаймович И. Н., Клентак Л. С.** Усовершенствование методов сглаживания сложных поверхностей с использованием интерполяционных сплайнов // Фундаментальные исследования. 2013. № 10 (ч. 12). С. 2634–2638.
8. **De Brabanter K., de Brabanter J., de Moor B.** Derivative estimation with local polynomial fitting // Journ. Mach. Learning Res. 2013. **14**, N 1. P. 281–301.

9. **Жиляков Е. Г., Черноморец А. А., Паболкова Н. С.** Дифференцирование сигналов по дискретным отсчётам на основе частотных представлений // Научные ведомости Белгородского государственного университета. 2010. № 19. С. 88–92.
10. **Dmitriev V. I., Ingtem Zh. G.** Solving an integral equation of the first kind by spline approximation // Computat. Math. Modeling. 2004. **15**, N 2. P. 99–104.
11. **Гребенников А. И.** Метод последовательных сглаживаний и сплайн-алгоритмы // Численный анализ: методы, алгоритмы, приложения. М.: Изд-во МГУ, 1985. С. 82–95.
12. **Schmidt J. W., Scholz I.** A dual algorithm for convex-concave data smoothing by cubic C^2 -splines // Numer. Math. 1990. **57**. P. 330–350.
13. **Кочегурова Е. А., Шебеко Е. В.** Использование вариационного сглаживающего сплайна в задаче краткосрочного прогнозирования // Изв. ТПУ. 2006. **309**, № 7. С. 36–39.
14. **Низамитдинов А. И.** Использование штрафного сплайна (P-spline) и кубического сглаживающего сплайна в прогнозировании временных рядов // Вестн. Таджикского государственного университета права, бизнеса и политики. Сер. Гуманитарные науки. 2012. № 4(52). С. 124–131.
15. **Cao J., Cai J., Wang L.** Estimating curves and derivatives with parametric penalized spline smoothing // Stat. Comput. 2012. **22**, N 5. P. 1059–1067.

Поступила в редакцию 2 декабря 2015 г.
